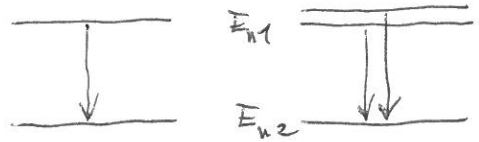


9.2 Perturbasjoner av atomare energinivåer

Resultatene fra kapittel 6 forutsetter at energinivåene er helt bestemt av Coulombpotensialet; bare kvantetall n bestemmer energien.

Uviskeligheten er ett andre energibidrag til stede, som opphever degenerasjonen slik at også l, m_l og m_s bestemmer energinivåene.

Alle kan medføre at antallet uble spektrallinjer viser seg å være doble ved nøyaktige målinger:



Finstruktur

Fra kapittel 8:

$$\vec{\mu}_L = -\frac{g_L e}{2m_e} \vec{L} \quad (g_L = 1)$$

$$\vec{\mu}_S = -\frac{g_S e}{2m_e} \vec{S} \quad (g_S \approx 2)$$

Barebevegelsen setter opp et magnetfelt \vec{B} , som elektronspinnet ser:

$$H_1 = -\vec{\mu}_S \cdot \vec{B}$$

Elektronets hvilesystem: Protonets elektriske felt

$$\vec{E} = \frac{1}{4\pi\epsilon_0} \frac{e}{r^3} \vec{r}$$

tilsvarende et magnetfelt

$$\vec{B} = -\vec{v} \times \vec{E} / c^2$$

Med $\vec{L} = \vec{r} \times \vec{p}$ gir dette

$$\begin{aligned} \vec{B} &= -\frac{1}{m_e} \vec{p} \times \frac{1}{4\pi\epsilon_0} \frac{e}{r^3} \vec{r} / c^2 \\ &= \frac{1}{4\pi\epsilon_0} \frac{e}{m_e c^2 r^3} \vec{L} \end{aligned}$$

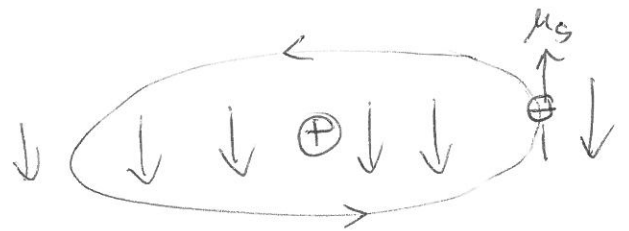
og for spin-korelleselvinteraksjonen:

$$\begin{aligned} H_1 &= (-1)^2 \frac{g_S e}{2m_e} \vec{S} \cdot \frac{1}{4\pi\epsilon_0} \frac{e}{m_e c^2 r^3} \vec{L} \\ &= \frac{e^2}{4\pi\epsilon_0 m_e^2 c^2 r^3} \vec{S} \cdot \vec{L} \end{aligned}$$

Feil, pga. at elektronets hvilesystem er et absolutt system! Riktig, R.H. Thomas 1926

$$H_1 = \frac{e^2}{4\pi\epsilon_0 m_e^2 c^2 r^3} \vec{S} \cdot \vec{L}$$

"Thomas-preesjon"



Størrelsesorden:

$$s \sim \hbar, \quad l \sim \hbar, \quad r \sim 10^{-10} \text{ m}$$

$$\Rightarrow H_1 \sim 10^{-4} \text{ eV}, \quad H_2 \ll |-13.6 \text{ eV}|$$

så perturbasjonsteori anvendelig!

Bestem prikproduktet som i kapittel 8:

$$\vec{J} = \vec{L} + \vec{S}$$

$$\Rightarrow \vec{L} \cdot \vec{S} = \frac{1}{2} (J^2 - L^2 - S^2)$$

$$\Rightarrow H_1 = \frac{e^2}{16\pi\epsilon_0 m_e^2 c^2 r^3} (J^2 - L^2 - S^2)$$

Kvantetall kap. 6 : n, l, m_l

Kvantetall kap. 8 : m_s addert

Betrakt nå egenfunksjoner uttrykt ved $|j, m_j\rangle$ dvs.

$$J^2 |n, l, j, m_j\rangle = j(j+1)\hbar^2 |n, l, j, m_j\rangle$$

$$J_z |n, l, j, m_j\rangle = m_j \hbar |n, l, j, m_j\rangle$$

9 så fall:

$E_{\text{spinn-bærel}}^{(1)}$

$$= \langle n, l, j, m_j | \frac{e^2}{16\pi\epsilon_0 m_e^2 c^2 r^3} (J^2 - L^2 - S^2) | n, l, j, m_j \rangle$$

$$= \hbar^2 [j(j+1) - l(l+1) - s(s+1)] \underbrace{\langle n, l, j, m_j | \frac{e^2}{16\pi\epsilon_0 m_e^2 c^2 r^3} | n, l, j, m_j \rangle}_{\text{integral over radial og egenfunksjoner, avh. av } n \text{ og } l! \text{ Kall det } f_{nl}}$$

$$\Rightarrow E_{\text{spinn-bærel}}^{(1)} = \hbar^2 f_{nl} [j(j+1) - l(l+1) - \frac{3}{4}]$$

$$l=0 \Rightarrow j = \frac{1}{2}; \quad l>0 \Rightarrow j = \begin{cases} l + \frac{1}{2} \text{ (høyere energi)} \\ l - \frac{1}{2} \text{ (lavere energi)} \end{cases} \quad H_1 = -\vec{\mu} \cdot \vec{B}!$$

Alle tilstander med $l \neq 0$ splittes altså i to!
etter beregning av integralet:

$$E_{\text{spinn-bærel}}^{(1)} = |E_n|^2 \frac{1}{2\hbar} \frac{[j(j+1) - l(l+1) - \frac{3}{4}]}{l(l + \frac{1}{2})(l+1)}$$

med $\alpha = \frac{e^2}{4\pi\epsilon_0 \hbar c} \approx \frac{1}{137}$ er finstrukturkonstanten.

eller ikke dette er 100% "rett"!

Grund: Elektronet er behandlet ikke relativistisk (altså $v_e \ll c$).

Anta at en partikkel er bare svakt relativistisk, og $\hbar \omega$

$$E = \sqrt{p^2 c^2 + m^2 c^4}$$

$$= mc^2 + \underbrace{\frac{p^2}{2m}} - \underbrace{\frac{p^4}{8m^3 c^2}} + \dots$$

↑ laveste ordens perturbasjonsbidrag pga. relativistiske effekter
 ↓ unngår i standard, ikke-relativistisk Schrödingerligning

Altid:

$$H_1 = - \frac{p^4}{8m^3 c^2}$$

Og: $E_{\text{relativistisk}}^{(1)} = - \frac{1}{8m_e^3 c^2} \langle n l j m_j | p^4 | n l j m_j \rangle$

eller utregning av resterende maliseclement:

$$E_{\text{relativistisk}}^{(1)} = -|E_n| \alpha^2 \frac{1}{n} \left[\frac{2n}{2l+1} - \frac{3}{4} \right]$$

Dette avhenger bare av n & l men ikke j ;
 splittes derfor ikke energinivåene.
 $l \leq n-1 \Rightarrow []$ alltid positivt; energinivåene senkes.

$E_{\text{spin-orbit}}^{(1)}$ og $E_{\text{relativistisk}}^{(1)}$ er av samme størrelsesorden;
 begge må inkluderes!

$$E_{\text{justert}}^{(1)} = E_{\text{spin-orbit}}^{(1)} + E_{\text{relativistisk}}^{(1)}$$

$$= |E_n| \alpha^2 \frac{1}{n^2} \left(\frac{3}{4} - \frac{n}{j + 1/2} \right)$$

l -avhengighet kansellert ut!

Nettoeffekt:
 Splitting av $l-1/2$ og $l+1/2$ tilstandene;
 senking av dem begge i forhold til uperturberte
 hydrogennivåer.
 Begge er av orden $2^2 E_n \approx 10^{-4} E_n$.

Historisk betyngt notation:

- l=0 - S tilstand
- l=1 - P "
- l=2 - D "
- l=3 - F "
- G "
- H "
- :

Med j som subscript!

F. eks.:

$$P_{1/2} \rightarrow l=1, j=\frac{1}{2}$$

"Spektroskopisk notation"

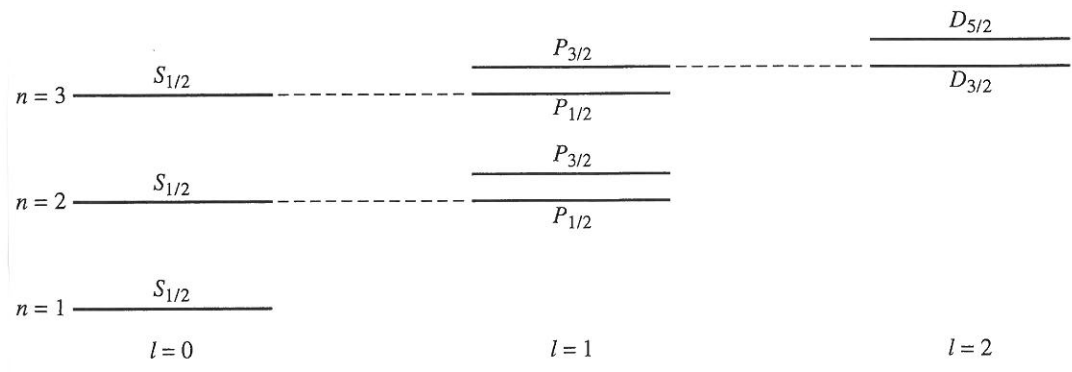


FIGURE 9.7 The energy levels of hydrogen showing the fine structure (not drawn to scale).

Teorien ble anvendt på degenererte tilstander - går tilsvarende som man har o-ordets-uttrykk:

$$\langle n l m_l m_s | H | n l' m_l' m_s' \rangle = 0 \text{ hvis } l \neq l' \text{ eller } m_l \neq m_l' \text{ eller } m_s \neq m_s'$$

3 tillegg til finstruktur har vi:

Hyperfinsplitting

Protonet har også et magnetisk moment, som vekselvirker med elektronets:

$$\vec{\mu}_p = \frac{g_p e}{2m_p} \vec{S}$$

($g_p \approx 5.6$)

Feltstyrke svabere med en foton

$$\frac{m_e}{m_p} \approx 6 \times 10^{-4}$$

Mye mindre splitting:

$$\Delta E = 5.9 \times 10^{-6} \text{ eV}$$

$$\nu = \Delta E/h = 142 \text{ MHz} \Rightarrow \lambda = 21 \text{ cm}$$

(triplett) (singlett)

for overgang $S=1 \rightarrow S=0$

"21-cm-linjen" i radiobølger fra nøytrale H-gass-skyer!

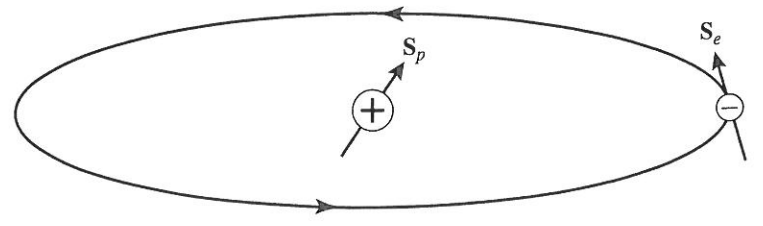


FIGURE 9.8 The spin-spin interaction between the proton and electron produces the hyperfine splitting.

Lamb-forskyvningen

Willis Lamb & R.C. Retherford, 1947:

De målte en energiforskjell mellom $n=2, S_{1/2}$ og $n=2, P_{1/2}$!
Nivåene skulle være degenererte.

Det skyldes vakuum polarisasjon: $e^+ e^-$ $e^- e^+$

"Vakuum" er ikke tomt rom.

Det dannes hele tiden $e^+ e^-$ par som forsvinner igjen, med levetid t :

$$E \cdot t < \frac{1}{2} \hbar$$

Virkelige ladninger trekker på de motsatt kjede i parene som ~~skapes~~.

Silsvarende som i et dielektrikum!

Den "nake" ladningen virer som \oplus må i virkeligheten være ∞ stor i origo, overrett eller er skitene kancellert av vakuum polarisasjon.

Modifisert potensial, beregnet ved kvantefeltteori:

$$V(r) = - \frac{e^2}{4\pi\epsilon_0 r} - \frac{\alpha e^2}{15\pi\epsilon_0} \frac{\hbar^2}{m_e^2 c^2} \delta^3(\vec{r})$$

Resturbansbidrag for annet ledd:

$$\begin{aligned} E^{(4)} &= \langle n l m_l m_s | H_1 | n l m_l m_s \rangle \\ &= \int d^3\vec{r} \psi_{nlm_l}^*(\vec{r}) \left(- \frac{\alpha e^2}{15\pi\epsilon_0} \frac{\hbar^2}{m_e^2 c^2} \delta^3(\vec{r}) \right) \psi_{nlm_l}(\vec{r}) \\ &= - \frac{\alpha e^2}{15\pi\epsilon_0} \frac{\hbar^2}{m_e^2 c^2} |\psi_{nlm_l}(0)|^2 \end{aligned}$$

Bare for $l=0$ er $\psi \neq 0$ i origo;
Lamb-forskyvningen senker $l=0$ -energien i forhold til tilstander med høyere l .
F.eks. $n=2$: Splittingen mellom $l=0$ og $l=1$ er av størrelsesorden 10^{-7} eV